

Photocatalytic and Kinetics Studies of Colored and Agriculture Wastewater Treatment Using Bismuth OxyBromide Reinforced with a Trace Amount of Metal-Organic Framework (Zr) Nanoparticles

Bahman Rezaei, Farhad Rahmani*, Mehrdad Khamforoush

Department of Chemical Engineering, Faculty of Engineering, University of Kurdistan, P. O. Box: 66177-15175, Sanandaj, Iran.

ARTICLE INFO

Article history:

Received: 14-03-2025

Accepted: 25-05-2025

Available online: 28-06-2025

Print ISSN: 2251-7278

Online ISSN: 2383-2223

DOI: [10.30509/jscw.2025.167497.1227](https://doi.org/10.30509/jscw.2025.167497.1227)

Keywords:

Photocatalytic treatment

Metal-organic frameworks

Bismuth oxybromide

Methyl orange

Bentazon

ABSTRACT

In this study, a bismuth oxybromide nanocomposite containing 2.5 wt% metal-organic framework (Zr) nanoparticles was synthesized using a wet chemical method under vigorous stirring for the degradation of bentazon and methyl orange and characterized by XRD, FESEM/EDX, FTIR, UV-DRS and PL analyses. By adding a small amount of metal-organic framework (MOF), the nanocomposite exhibited better photocatalytic activity compared to pure bismuth oxybromide. The synthesized nanocomposite successfully degraded 34.9% of bentazon under UV irradiation and 25% under visible light within 120 min. Additionally, it achieved 97.4% and 91.3% degradation of methyl orange under UV and visible light, respectively. Kinetic studies indicated that the pollutant removal results followed the first-order model. The improvement in the degradation efficiency is attributed to the increased adsorption capacity and reduced recombination rate, which play a crucial role in enhancing photocatalytic performance. Furthermore, the interaction between MOF and bismuth oxybromide semiconductor prevents the accumulation of bismuth-based nanosheets, leading to more effective pollutant degradation. These findings suggest that adding a small amount of metal-organic framework (Zr) not only has no impact on the photocatalyst cost but can also significantly improve the adsorption capacity and photocatalytic efficiency of bismuth oxybromide, making it a promising option for advanced wastewater treatment applications.

Corresponding author: * f.rahamanichiyane@uok.ac.ir



This work is licensed under a Creative Commons Attribution 4.0 International License



مطالعات فوتوکاتالیزی و سینتیکی تصفیه پساب‌های رنگی و کشاورزی با استفاده از بیسموت اکسیبرومید بهبود یافته با مقدار بسیار کم از نانوذرات چارچوب فلز-آلی (زیرکونیم)

بهمن رضائی^۱، فرهاد رحمانی^{۲*}، مهرداد خامفروش^۲

۱- دانشجوی کارشناسی ارشد، گروه مهندسی شیمی، دانشکده مهندسی، دانشگاه کردستان، سنندج، ایران کد پستی: ۶۶۱۷۷۱۵۱۷۵

۲- دانشیار، گروه مهندسی شیمی، دانشکده مهندسی، دانشگاه کردستان، سنندج، ایران، کد پستی: ۶۶۱۷۷۱۵۱۷۵

چکیده

در این تحقیق، نانوکامپوزیت بیسموت اکسیبرومید حاوی ۲/۵ درصد وزنی از نانوذرات چارچوب فلز-آلی (زیرکونیم)، جهت تجزیه علفکش بنتازون و رنگزای متیل اورانژ به روش شیمیایی مرتبط و تحت اختلاط شدید سنتر و خصوصیات آن با آزمون‌هایی چون XRD، FTIR، FESEM/EDX، UV-DRS، PL شناسایی شد. نتایج نشان داد که با افزودن مقدار کمی از چارچوب فلز-آلی، نانوکامپوزیت مذکور فعالیت فوتوکاتالیزی بهتری را در مقایسه با نیمه‌رسانای خالص بیسموت اکسیبرومید از خود نشان می‌دهد. نانوکامپوزیت سنترزشده موفق شد طی ۱۲۰ دقیقه، ۳۴/۹ درصد از آلاینده بنتازون را تحت تابش نور فرابنفش و ۲۵ درصد از آن را تحت نور مرئی تجزیه کند. همچنین، این نانوکامپوزیت توانست ۹۷/۴ ۹۱/۳ درصد از رنگزای متیل اورانژ را به ترتیب تحت تابش نور فرابنفش و نور مرئی حذف نماید. مطالعات سینتیکی بیانگر تبعیت نتایج حذف آلاینده‌ها از مدل مرتبه اول بود. بهبود در کارایی تجزیه بنتازون و رنگزای متیل اورانژ به بیشتر شدن ظرفیت جذب آلاینده و کاهش نرخ بازترکیب جفت‌های الکترون-حفره نسبت داده می‌شود که نقش حیاتی در بهبود عملکرد فوتوکاتالیزی دارد. بعلاوه، تعامل بین چارچوب فلز-آلی و نیمه‌رسانای بیسموت اکسیبرومید از تجمع و انباست نانوصفحات بیسموتی جلوگیری می‌کند که باعث تجزیه مؤثرتر آلاینده‌ها می‌شود. این یافته‌ها نشان می‌دهد که افزودن مقدار کمی از چارچوب فلز-آلی (زیرکونیم) نه تنها تأثیری بر هزینه تمام شده فوتوکاتالیست ندارد، بلکه می‌تواند ظرفیت جذب و کارایی فوتوکاتالیزی بیسموت اکسیبرومید را بطور چشمگیری بهبود بخشد و آن را به یک گزینه نویدبخش برای کاربردهای پیشرفته تصفیه پساب تبدیل کند.

اطلاعات مقاله

تاریخچه مقاله:

۱۴۰۳/۱۲/۲۴

تاریخ پذیرش: ۱۴۰۴/۰۳/۰۱

در دسترس به صورت الکترونیکی: ۱۴۰۴/۰۴/۰۷

شایا چاپی: ۲۲۵۱-۷۲۷۸

شایا الکترونیکی: ۲۳۸۳-۲۲۲۳

DOI: [10.30509/jscw.2025.167497.1227](https://doi.org/10.30509/jscw.2025.167497.1227)

واژه‌های کلیدی:

تصفیه فوتوکاتالیزی

چارچوب‌های فلز-آلی

بیسموت اکسیبرومید

متیل اورانژ

بنتازون



۱- مقدمه

(۲۱). در میان فتوکاتالیست‌های مورد بررسی، نیمه‌هادی‌های مبتنی بر NaBiO₃ (۲۲)، Bi₂O₃ (۲۳)، BiPO₄ (۲۴)، BiOX (۲۵-۲۷) و BiOBr (۲۸) به دلیل هزینه پایین، غیرسمی‌بودن و کارایی بالا در حضور نور خورشید/نور مرئی بسیار نویدبخش هستند. ترکیب BiOBr به عنوان یک نیمه‌هادی نوع p با ساختار لایه‌ای و به دلیل فعالیت فتوکاتالیزی نسبتاً مناسب و پایداری آن تحت تابش نور مرئی، بسیار مورد توجه محققان قرار گرفته است (۲۹). با این حال، بازترکیب سریع حامل‌های بار تولیدشده، کارایی فتوکاتالیزی BiOBr را کاهش می‌دهد. روش‌های اصلاحی مختلفی برای حل این مشکل توسعه یافته‌اند که یکی از آن‌ها ساخت اتصال ناهمگون با سایر مواد کاربردی است. این روش به بهبود عملکرد فتوکاتالیزی مواد کمک می‌کند (۳۰). یک دسته از ترکیباتی که می‌توانند با فتوکاتالیست‌ها اتصال ناهمگون برقرار کنند، چارچوب‌های فلز-آلی یا همان MOF‌ها هستند (۳۱). این مواد متخلخل هیبریدی، از پیوند یون/خوش‌های فلزی با لیگاند‌های آلی تشکیل شده‌اند و به دلیل ظرفیت جذب بالا، پایداری حرارتی و شیمیایی مناسب، توجه زیادی را به خود جلب کرده‌اند (۳۲، ۳۳). اکثر MOF‌ها بر اساس اندازه حفره، در دسته مواد ماکرو و مزوحرقه قرار می‌گیرند (۳۴). تحقیقات اخیر نشان داده است که بسیاری از MOF‌ها دارای خواص نیمه‌هادی بوده و پتانسیل فتوکاتالیزی قابل توجهی دارند (۳۵). دسته‌ای از این مواد MOF‌های مبتنی بر زیرکونیم مانند UiO-66، UiO-67 و UiO-66-NH₂ می‌باشند که به دلیل پایداری حرارتی و شیمیایی بالاتر نسبت به دیگر MOF‌ها برجسته‌اند و به عنوان مواد نیمه‌هادی می‌توانند در تصفیه فتوکاتالیزی پساب مورد استفاده قرار گیرند (۳۶). با این حال، از آنجایی که هزینه تمام شده این مواد در مقایسه با فتوکاتالیست‌های بسیمودت بنیان بالا می‌باشد منطقی است که مقدار کم از نانوذرات (Zr-MOF) مورد استفاده قرار گیرد. در سال‌های اخیر، پژوهش‌های متعددی در این زمینه انجام شده است. در یکی از این تحقیقات، کامپوزیت BiOBr/UiO-66 به روش رسوبی برای تجزیه تتراسایکلین سنتر شد و توانست در مدت زمان ۱۵۰ دقیقه، درصد از محلول ۳۰ ppm تتراسایکلین را تحت تابش لامپ هالوژن ۳۰۰ W تجزیه کند (۳۰). در پژوهشی دیگر، کامپوزیت BiOBr/UiO-66 با یک روش محلول ساده در دمای اتاق سنتر شد و توانست به طور کامل محلول ppm ۱۰ روdamین ب را در مدت زمان ۱۵ دقیقه تحت تابش لامپ W ۵۰۰ هالوژن تجزیه کند (۳۷). در مطالعه دیگری، همین کامپوزیت با همان روش قبلی سنتر شد و موفق شد ۸۸ درصد از محلول ۵ ppm آترازین را تحت تابش لامپ W ۵۰۰ هالوژن تجزیه کند (۳۸). همچنین، کامپوزیت Bi₂MoO₆/UiO-66 برای تجزیه آلاینده رنگی روdamین ب تهیه شد که توانست در مدت زمان ۱۲۰ دقیقه، ۹۵ درصد از محلول ۱۰ ppm روdamین ب را تحت تابش لامپ زنون W ۵۰۰ تجزیه کند (۳۹). علاوه بر این کامپوزیت Bi₂WO₆/UiO-66 جهت تجزیه روdamین ب سنتر شد و موفق

کمبود آب یکی از چالش‌های جهانی و جدی است که میلیون‌ها نفر را از دسترسی به آب پاک و سالم محروم کرده است (۱). بهره‌برداری برویه انسان از دو منبع کلیدی انرژی و آب بحران‌های جدی از جمله گرمایش جهانی و آلودگی آب را به همراه داشته است. اگرچه آب یکی از نیازهای اساسی برای بقای انسان و یک منبع طبیعی فراوان است، اما مدیریت آن اغلب ناکافی است (۲). به گزارش سازمان بهداشت جهانی، عدم توجه به حل مناسب مشکل آلودگی آب، منابع آب آشامیدنی جهان را به شدت تحت تأثیر قرار داده و سرانه به مرگ یک میلیون نفر منجر می‌شود (۳). هدف اصلی تصفیه آب‌های آلوده شده که به عنوان پساب شناخته می‌شوند، حذف آلاینده‌ها، سوموم و پاتوژن‌های مضر است تا آب تصفیه شده، به طور این‌میان به محیط زیست بازگردانده شود و برای اهداف مختلف استفاده شود (۴). در میان انواع آلاینده‌ها، حذف آلاینده‌های آلی به دلیل فراوانی در منابع آبی و گستردگی این ترکیبات که علف‌کش‌ها، داروها، رنگ‌ها و مواد شیمیایی صنعتی را در بر می‌گیرند، از اهمیت ویژه‌ای برخوردار است. در این میان، دو دسته از آلاینده‌های آلی یعنی رنگزاها و سوموم کشاورزی، به دلیل گستردگی کاربرد و اثرات مغرب زیست‌محیطی، از اهمیت بسزایی برخوردارند. صنعت نساجی، به عنوان یکی از صنایع برجسته در بسیاری از کشورها، با چالش تولید برویه پساب مواجه است. در فرایند تولید پارچه، به ویژه در مراحل چاپ و رنگرزی، مقادیر قابل توجهی آب و انواع رنگزاها شیمیایی مصرف می‌شود. متأسفانه، بخش قابل توجهی از این رنگزاها (حدود ۱۱ تا ۱۵ درصد) به عنوان پساب صنعتی وارد منابع آبی شده و منجر به آلودگی می‌گردد (۵). از سوی دیگر، استفاده برویه و ناگزیر از علف‌کش‌ها در فعالیت‌های کشاورزی، یکی دیگر از منابع اصلی آلودگی آب محسوب می‌شود. حذف علف‌کش‌ها، به دلیل مقاومت زیستی بالا، سمی بودن، سلطان‌زایی و اختلال در غدد درون‌ریز، برای جلوگیری از آسیب به گونه‌های زنده، امری ضروری است (۶). روش‌های متعددی برای تصفیه پساب توسعه یافته‌اند که شامل فیلتراسیون (۷، ۸)، فرایندهای غشایی (۹، ۱۰)، تصفیه زیستی (۱۱، ۱۲)، جذب سطحی (۱۳، ۱۴) و دیگر روش‌های فیزیکی است (۱۵). اما این روش‌ها معایبی مانند محدودیت در حذف آلاینده‌ها، تولید محصولات جانبی مضر و زمان بر بودن دارند. با توجه به اهمیت حفظ محیط زیست، محققان به دنبال فناوری‌های جایگزین سازگار با محیط زیست هستند. در سال‌های اخیر، استفاده از فتوکاتالیست‌ها برای حذف آلاینده‌های آلی از آب، توجه بسیاری را به خود جلب کرده است (۱۶). فتوکاتالیست‌ها با جذب فوتون‌ها، جفت‌های الکترون-حفره ایجاد می‌کنند که منجر به تجزیه ماد آلی می‌شود (۲۰). فرایند تجزیه فتوکاتالیزی به دلیل مزایایی مانند شرایط عملیاتی ملایم، غیرسمی‌بودن، امکان استفاده از انرژی خورشیدی و تولید محصولات بی‌ضرری مانند آب و دی‌اکسیدکربن، چشم‌انداز بسیار خوبی برای کاربردهای صنعتی دارد و به عنوان یک فناوری سبز توجه ویژه‌ای را به خود جلب کرده است (۲۲)

شد و همزدن برای ۱۰ دقیقه دیگر ادامه یافت. همزمان، ۰/۹۷ گرم نیترات بیسیمومت به ۲۰ میلی لیتر دی‌متیل فرم‌آمید اضافه شده و به مدت ۳۰ دقیقه هم زده شد. در مرحله بعد، محلول بیسیمومت نیترات به تدریج و به صورت قطره‌قطره به سوسپانسیون پتابسیم برومید تحت همزدن مداوم و شدید اضافه شد و بعد از آن، سوسپانسیون حاصل به سیستم چگالش برگشتی منتقل و در دمای $^{\circ}\text{C}$ ۸۰ به مدت ۴ ساعت تحت اختلاط قرار گرفت. در پایان، رسوب حاصل به مدت ۸ ساعت در دمای $^{\circ}\text{C}$ ۸۰ خشک شد.

۳-۲- دستگاه‌های مورد استفاده

برای بررسی خواص بلورینگی نمونه‌های سنتر شده از دستگاه X'PertPro کمپانی فیلیپس ساخت کشور هلند در محدوده ۲۰-۵۰ درجه، برای بررسی ریخت سطحی از دستگاه MIRA3-TESCAN ساخت کشور جمهوری چک، جهت بررسی ترکیب شیمیایی و توزیع اجزا روی سطح، از دستگاه Nanosem 450-FEI ساخت کشور آمریکا مجهز به آشکار ساز BSE، برای بررسی خواص نوری فوتوكاتالیست و محاسبه انرژی شکاف باند از دستگاه UV-Vis ساخت ژاپن در محدوده طول موج ۴۰۰-۹۰۰ نانومتر، برای ارزیابی سرعت بازترکیب حاملان بار نیمه هادی‌ها از دستگاه Avantes-Avaspec-2048 ساخت کشور هلند و برای شناسایی گروه‌های عاملی و پیوندهای شیمیایی از دستگاه Brucker ساخت کشور آمریکا استفاده شد.

۴-۲- روش ارزیابی عملکرد فوتوكاتالیزی

برای بررسی عملکرد تخریب فوتوكاتالیزی نمونه‌های سنتری، از یک سامانه آزمایشگاهی مجهز به یک لامپ بخار جیوهای ۱۲۵ وات برای آزمون‌های راکتوری تحت تابش پرتو فرابنفش و همچنین لامپ LED ۱۸۰ وات به عنوان منبع تابش پرتو مرئی و یک بشر ۶۰۰ میلی لیتر به عنوان راکتور استفاده شد. همچنین جهت ثابت نگه داشتن دمای راکتور در دمای محیط از حمام آب بخ استفاده شد و همچنین از یک دستگاه طیفسنج t80 (Pg instruments)، به منظور آزمون غلظت آلاینده در آب استفاده شده است. جهت انجام آزمایشات راکتوری، ۰/۱ گرم از فوتوكاتالیست به ۲۰۰ میلی لیتر از محلول ۲۰ ppm هدف اضافه شد. سپس مخلوط به مدت ۶۰ دقیقه جهت رسیدن به تعادل جذب و دفع تحت هم زدن قرار گرفت و پس آن به مدت ۱۲۰ دقیقه تحت تابش نور قرار گرفت. پس از یک ساعت تاریکی و در زمان‌های روشنایی هر ۳۰ دقیقه یک بار، ۴ میلی لیتر نمونه جدا و جهت جداسازی کامل ذرات فوتوكاتالیست از گریزانه استفاده شد. در نهایت، غلظت آلاینده پساب تحت تابش جهت محاسبه بازده حذف فوتوكاتالیست با استفاده از دستگاه طیفسنج در طول موج معین (nm ۴۶۵ برای بنتازون و nm ۳۳۰ برای رنگزای متیل اورانز) اندازه‌گیری شد.

شد به طور کامل محلول ۱۰ ppm رودامین ب را تحت تابش لامپ هالوژن W ۵۰۰ تجزیه کند (۳۶).

در پژوهش حاضر، نانوکامپوزیت بیسیمومت اکسی‌برومید حاوی ۲/۵ درصد وزنی از نانوذرات MOF(Zr) با استفاده از روش شیمیایی مرتبط تحت اختلاط شدید سنتر شد. ادغام چهارچوب فلز-آلی با بیسیمومت اکسی‌برومید تحت اختلاط شدید که نوآوری این کار در بخش سنتر در مقایسه با سایر پژوهش‌های مشابه می‌باشد، رویکردی امیدوار‌کننده برای افزایش عملکرد فوتوكاتالیزی ارائه می‌دهد. اختلاط شدید در حین ادغام و هسته‌زایی، پراکندگی نانوذرات MOF را بر روی نانوفحات بیسیمومت اکسی‌برومید تسهیل و تماس بین دو جزء را تقویت می‌کنند. همین امر می‌تواند جداسازی و انتقال حامل‌های بار را افزایش دهد، که منجر به افزایش جذب نور و کاهش نرخ بازترکیب می‌شود. در این پژوهش، نانوکامپوزیت بیسیمومت اکسی‌برومید-چهارچوب فلز-آلی (زیرکونیم) سنتر شده در تخریب فوتوكاتالیزی علف‌کش بنتازون و رنگزای متیل اورانز تحت تابش نور فرابنفش و مرئی مورد ارزیابی قرار گرفت. شایان ذکر است که علاوه بر نوآوری در شرایط آماده‌سازی و مقدار بسیار کم نانوذرات MOF مورد استفاده، مطالعه سینتیکی تجزیه این دو آلاینده با استفاده از نانوکامپوزیت مذکور در پژوهش‌های پیشین نیز مورد مطالعه قرار نگرفته است. همچنین، در این تحقیق از لامپ LED به عنوان منبع نور مرئی استفاده شد که نسبت به لامپ‌های هالوژن و زنون مورد استفاده در مطالعات مشابه، دارای مزایایی از جمله طیف نور مرئی گسترده‌تر و میزان مصرف انرژی پایین‌تر است.

۲- بخش تجربی

۱-۲- مواد مورد استفاده

در این مطالعه از نیترات زیرکونیم با خلوص ۹۹/۵ درصد، اسید ترفتالیک با خلوص ۹۵ درصد، اتانول با خلوص ۹۵ درصد و دی‌متیل فرم‌آمید (DMF) با خلوص ۹۹/۵ درصد جهت سنتر MOF(Zr) استفاده شد. تمامی این مواد از شرکت مرک آلمان خریداری شدند. جهت سنتر نانوکامپوزیت از بیسیمومت نیترات پنج آبه ($\text{Bi}(\text{NO}_3)_3 \cdot 5\text{H}_2\text{O}$) با خلوص ۹۹/۵ درصد از شرکت سیگما آلدريج، پتابسیم برومید (KBr) از شرکت مرک با خلوص ۹۹ درصد و آب مقطور استفاده شد. از بنتازون ۴۸ درصد SL شرکت Binnong چین و رنگزای متیل اورانز تهیه شده از شرکت مرک هم به عنوان آلاینده‌های هدف استفاده شد.

۲-۲- سنتر نانوکامپوزیت بیسیمومت اکسی‌برومید-چهارچوب فلز-آلی (زیرکونیم)

ابتدا چهارچوب فلز-آلی (زیرکونیم) با استفاده از روش سولوترمال سنتر شد (۳۰). سپس، ۰/۱۵۶ گرم از نانوذرات MOF(Zr) به ۲۰ میلی لیتر آب مقطور اضافه شد و به مدت ۲۰ دقیقه روی همزن مغناطیسی قرار گرفت. پس از آن، ۰/۰۲۵ گرم برومید پتابسیم به این سوسپانسیون اضافه

۲-۱-۳- آزمون FESEM/EDX

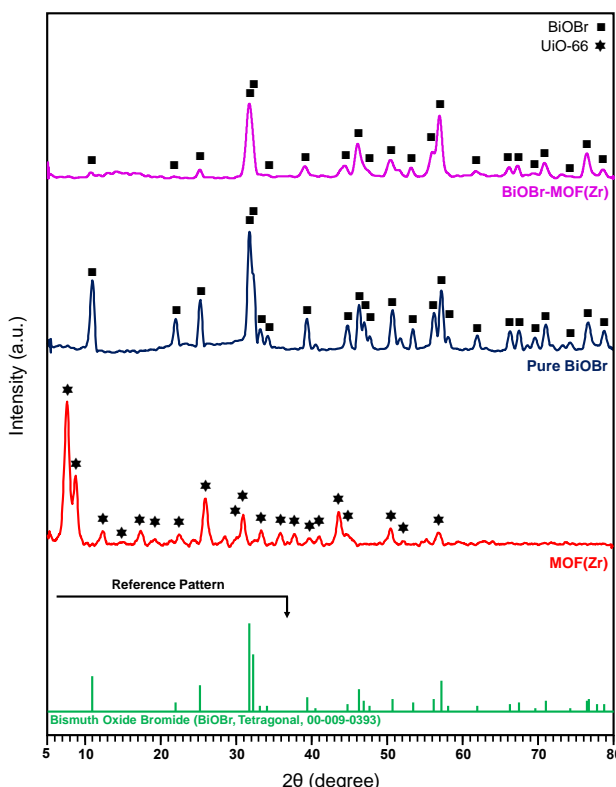
تصاویر آزمون FESEM نمونه‌های خالص BiOBr و MOF(Zr) در مقیاس ۵۰۰ nm در شکل ۲ آورده شده است. تصویر FESEM مربوط به MOF(Zr)، ریزساختار نسبتاً یکپارچه‌ای متشکل از نانوذرات همگن را نشان می‌دهد. در این تصویر تعداد زیادی نانوذره کروی شکل قابل مشاهده است که در کنار هم قرار گرفته‌اند. نمونه BiOBr خالص از صفحه‌های صاف و نامنظم تشکیل شده است. تصویر گویای این است که تعدادی از نانوصفحات در کنار هم جمع شده‌اند و ساختاری تیغه‌ای شکل را تشکیل داده‌اند. با توجه به اینکه نمونه نانوکامپوزیتی عمدتاً از BiOBr تشکیل شده است پس ریخت آن نیز بسیار شبیه به BiOBr است اما تعدادی نانوذرات نیز در تصاویر قابل مشاهده است که این نانوذرات، می‌توانند MOF باشند. مقایسه تصاویر نمونه‌های حاوی BiOBr بیانگر این واقعیت است که با افزودن نانوذرات MOF تجمع و انباست نانوصفحات BiOBr کمتر شده است.

آزمون EDX نانوکامپوزیت در شکل ۲ آورده شده است. همان‌طور که در طیف EDX مشاهده می‌شود، عناصر بیسموت (Bi)، اکسیژن (O)، برم (Br)، زیرکونیم (Zr) و کربن (C) همگی در ساختار حضور دارند که نشان‌دهنده تشکیل موفقیت‌آمیز کامپوزیت است. عنصر مزاحمی در طیف مربوطه مشاهده نشد، که این موضوع بیانگر خلوص بالای کامپوزیت سنتزی و کیفیت بالای فرایند سنتز است.

۳- نتایج و بحث

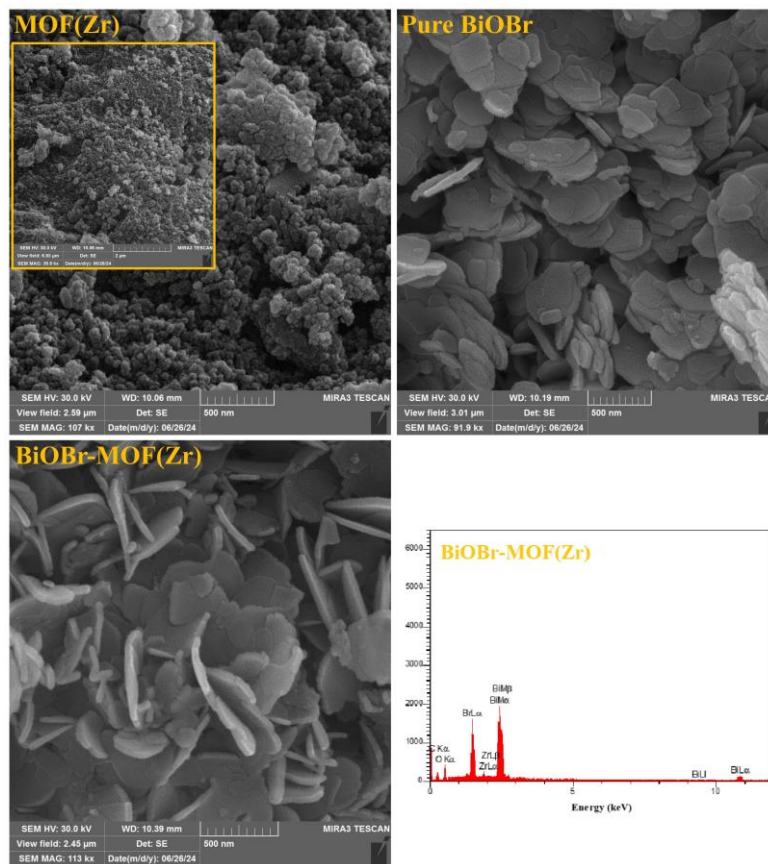
۳-۱- مشخصه‌های ایکس

در شکل ۱، آزمون پراش پرتو ایکس نمونه‌های سنتزی در محدوده $2\theta=5-80^\circ$ شده است. همان‌طور که در الگوی MOF(Zr) قابل مشاهده است، تنها فاز بلوری $\text{UiO}-66$ تشکیل شده و شدت بالای قله‌های شناسایی شده، بیانگر بلورینگی بالای این فاز بلوری است. به دلیل اینکه مقدار MOF در نانوکامپوزیت بیسموت اکسیبرومید-چهارچوب فلز-آلی (زیرکونیم) بسیار کم است و همچنین پراکندگی بالایی که به‌واسطه اختلاط شدید داشته است، قله مشخص و قابل توجهی از $\text{UiO}-66$ در طیف XRD نانوکامپوزیت قابل مشاهده نیست. با این حال، کاهش بلورینگی فاز بلوری BiOBr در نمونه کامپوزیتی در مقایسه با نمونه بیسموت اکسیبرومید خالص به‌نحوی بیانگر حضور نانوذرات MOF می‌باشد. با توجه به این کاهش بلورینگی می‌توان گفت که نانوذرات MOF روند رشد بلوری نانوصفحات BiOBr را تحت تأثیر قرار داده است و مانع از رشد صفحات بلوری BiOBr شده است.



شکل ۱: طیف‌های پراش پرتو ایکس MOF(Zr) خالص، BiOBr و نانوکامپوزیت BiOBr-MOF(Zr).

Figure 1: X-ray diffraction patterns of pure BiOBr, MOF(Zr) and BiOBr-MOF(Zr) nanocomposite.



شکل ۲: تصاویر FESEM نمونه‌های سنتزی به همراه آزمون EDX نانوکامپوزیت BiOBr-MOF(Zr)

Figure 2: FESEM images of synthesized samples along with EDX analysis of BiOBr-MOF(Zr) nanocomposite.

شکل ۴ طیف‌های PL نمونه‌های سنتزی که در شرایط یکسان در طول موج ۳۲۰ nm برانگیخته شده‌اند را نشان می‌دهد. می‌توان دریافت که در نمونه‌های سنتزی، طیف PL در حدود ۳۸۵ nm نانومتر ظاهر می‌شود. این طیف‌های ظاهر شده در آزمون طیفسنجی فوتولومینیسانس از فضاهای خالی اکسیژن سطحی و عیوب ساختاری فوتوكاتالیست نتیجه می‌شود. وجود قله با شدت کمتر در نمونه نانوکامپوزیت سنتزی نسبت به نمونه خالص BiOBr، نشان‌دهنده طول عمر بیشتر حاملان بر برانگیخته شده در نتیجه سازوکار انتقال بار بین سطحی می‌باشد. از طرفی، هرچه توزیع نانوذرات MOF بر روی نانوصفحات بیسموتی یکنواخت‌تر و برهمنکنیش بین آنها قوی‌تر باشد انتقال بار بین سطحی تسهیل شده و کاهش هر چه بیشتر نرخ بازترکیب حاملان بار را به همراه خواهد داشت.

۴-۱-۳- آزمون FT-IR

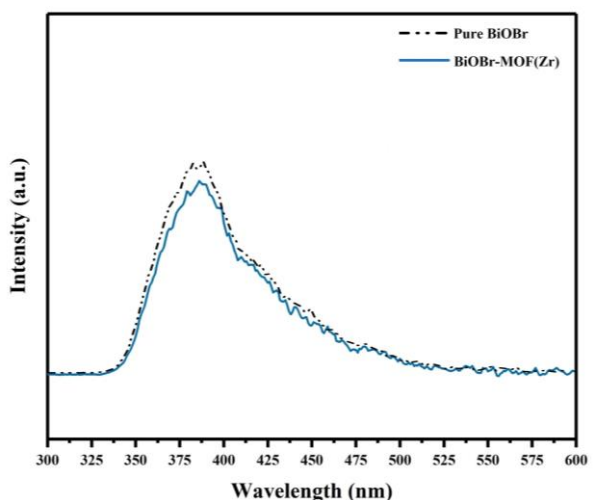
طیف‌های FT-IR مربوط به نمونه‌های سنتزی در محدوده ۴۰۰-۴۰۰۰ cm⁻¹ در شکل ۵ آورده شده است.

۳-۱-۳- آزمون‌های نوری نمونه‌های سنتزی

توانایی جذب نوری نمونه‌های سنتزی در طول موج‌های مختلف با آزمون UV-Vis (DRS) مورد ارزیابی قرار گرفت. شکل ۳ طیف جذب DRS نمونه‌های سنتزی را نشان می‌دهد. لبه نوار جذب نمونه نانوکامپوزیت BiOBr-MOF(Zr) در محدوده ۴۵۶ nm و لبه نوار جذب نمونه خالص BiOBr در محدوده ۴۶۱ nm قابل مشاهده است. لبه جذب این دو نمونه نشان می‌دهد که هر دو فوتوكاتالیست در محدوده نور مرئی فعال هستند. لبه نوار جذب نانوکامپوزیت نسبت به نمونه BiOBr خالص یک مقدار جزئی به سمت طول موج‌های کمتر جابجا شده است که به دلیل حضور نانوذرات MOF و اختلاط شدید در حین سنتز است که مانع از تجمع و انباست نانوصفحات BiOBr می‌شوند. علاوه بر این، انرژی کاف نوار^۱ محاسبه شده با استفاده از آزمون طیفسنجی بازتابی^۲ (DRS) در جدول ۱ آورده شده است. مشاهده می‌شود که میزان کاف نوار محاسبه شده برای نمونه BiOBr خالص از نانوذرات MOF(Zr) کمتر بوده که بیانگر فعالیت نوری بهتر آن می‌باشد. با افزودن نانوذرات MOF، میزان کاف نوار نانوصفحات BiOBr تغییر چندانی نمی‌کند که با توجه به مقدار کم نانوذرات MOF مورد استفاده منطقی به نظر می‌رسد.

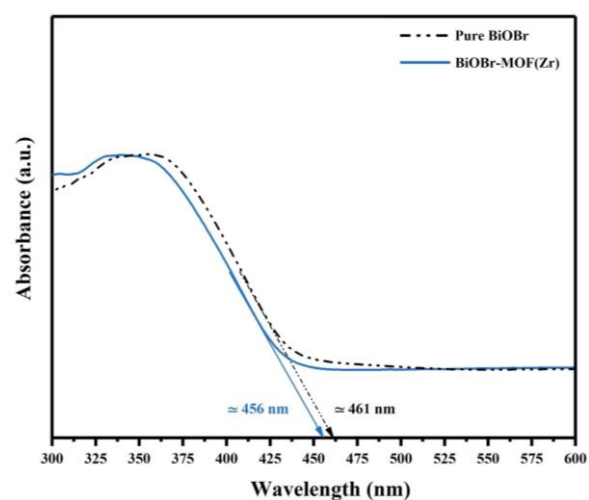
² Diffuse reflectance spectroscopy

¹ Band gap



شکل ۴: آزمون PL مریبوط به BiOBr خالص و .BiOBr-MOF(Zr) نانوکامپوزیت

Figure 4. PL analysis of pure BiOBr, and BiOBr-MOF(Zr) nanocomposite.



شکل ۳: طیف‌سنجی بازتابی (DRS) مریبوط به BiOBr خالص و .BiOBr-MOF(Zr) نانوکامپوزیت

Figure 3: Diffuse reflectance spectroscopy (DRS) of pure BiOBr, and BiOBr-MOF(Zr) nanocomposite.

جدول ۱: مشخصات و خواص نوری نمونه‌های سنتزی.

Table 1: Characteristics and optical properties of synthesized samples.

Sample	Synthesis method	Morphology	Absorption band edge (nm)	Band gap energy (eV)
MOF(Zr)	Solvothermal	Nanoparticle	343	3.61
Pure BiOBr	Wet chemical	Nanosheet	461	2.69
BiOBr-MOF(Zr)	Solvothermal/Wet chemical	Nanosheet/Nanoparticle	456	2.72

به مقدار بسیار کم نانوذرات MOF مورد استفاده و نیز شدت کم این قله‌ها در نمونه خالص، طبیعی است که حضور این قله‌ها در نمونه کامپوزیت قابل تشخیص نباشد.

۳-۲- ارزیابی فعالیت تخریب آلاینده‌های آلی
در این بخش عملکرد فتوکاتالیزی نمونه‌های سنتزی جهت تجزیه فتوکاتالیزی آلاینده‌های بنتازون و رنگرای متیل اورانژ تحت تابش نور مرئی و فرابنفش مورد ارزیابی قرار گرفت. آزمایش‌های فتوکاتالیزی در شرایط عملیاتی pH اولیه محلول، غلظت آلاینده ۲۰ ppm، مقدار فتوکاتالیست ۱۲۰ g/L و زمان ۵/۰ دقیقه انجام شد.

۳-۳- تجزیه فتوکاتالیزی بنتازون
همان‌طور که در شکل ۶ قابل مشاهده است، نانوکامپوزیت- BiOBr-MOF(Zr) تحت تابش پرتوهای فرابنفش و مرئی، از نمونه‌های خالص MOF(Zr) و BiOBr به تجزیه بالاتری از آلاینده بنتازون دست پیدا کرده است.

در الگوی MOF(Zr) نوارهای موجود در ۱۳۵۰ cm⁻¹ تا ۱۶۵۰ cm⁻¹ مریبوط به کشش نامتقارن و متقارن C=C و C-C می‌باشند (۴۰). قله‌های جذب در محدوده طول موج ۲۸۰۰-۳۰۰۰ cm⁻¹ ارتعاشات پیوندی C-H را نشان می‌دهند که بیانگر حضور هیدروکربن‌های آلی در ساختار MOF می‌باشد. همچنین، قله‌های واقع در محدوده طول موج ۴۰۰-۹۰۰ cm⁻¹ می‌توانند نشان‌دهنده ارتعاشات کششی پیوندهای M-O-M و M-O که Nشان‌دهنده فلز زیرکونیم موجود در ساختار است، باشد (۳۰). با توجه به طیف BiOBr خالص، نوار مشاهده شده در ۳۴۴۰ cm⁻¹ پیوندی Bi-O نسبت داده می‌شود و یک نوار پهن در ۵۱۵ cm⁻¹ مشاهده می‌شود که به ارتعاشات کششی آزاد و پیوندی گروه‌های هیدروکسیل نسبت داده می‌شود (۴۱). قله‌های جذب در حدود ۱۴۵۶ و ۱۶۴۰ cm⁻¹ در تمامی طیف‌ها می‌توانند مریبوط به O-H پیوندی ناشی از آب جذب شده به صورت فیزیکی باشند. همچنین، قله جذب شدید و پهن قابل مشاهده در محدوده طول موج ۳۶۰۰-۳۲۰۰ cm⁻¹ ارتعاشات کششی آزاد و پیوندی گروه‌های هیدروکسیل را نشان می‌دهد (۴۲-۴۵). با دقت در طیف‌های FTIR می‌توان گفت که موقعیت بیشتر قله‌های بزرگ مشاهده شده در الگوی MOF(Zr) با نمونه BiOBr یکسان بوده و تنها قله‌های با شدت کم در الگوی نمونه BiOBr مشاهده نمی‌شود که با توجه

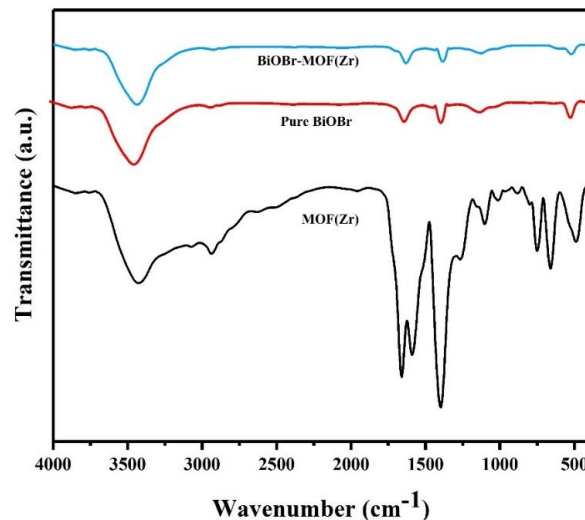
بالای نانوذرات MOF و بهبود خواص سطحی نانوکامپوزیت قابل توجیه می‌باشد.

۳-۲-۳- تجزیه فتوکاتالیزی رنگزای متیل اورانژ

آلینده بعدی که در این پژوهش مورد ارزیابی قرار گرفت، رنگزای متیل اورانژ بود. با توجه به شکل ۷، نتایج نشان می‌دهد که با تابش پرتو فرابنفش، BiOBr-MOF(Zr) موفق به تجزیه ۹۷/۴ درصد از رنگزای متیل اورانژ شده است. همچنین، تحت تابش نور مرئی، این نانوکامپوزیت ۹۱/۳ درصد از رنگزای متیل اورانژ را تجزیه کند. همچنین بدون حضور فتوکاتالیست، تنها ۱۲ درصد از رنگزای متیل اورانژ با تابش پرتو فرابنفش و ۷/۱ درصد از آن با تابش نور مرئی تجزیه شد. از نتایج آزمایشات راکتوری این نتیجه حاصل می‌شود که آلینده‌های کشاورزی مانند علفکش بنتازون، به دلیل ساختار شیمیایی پیچیده‌تر با حلقه‌های آروماتیک متعدد و گروههای عاملی مقاوم و مقاومت زیستی بالا در برابر تجزیه نسبت به آلینده‌های رنگی مانند رنگزای متیل اورانژ که ساختار ساده‌تر دارند، در فرایند فتوکاتالیزی سخت‌تر تجزیه می‌شوند. در نتیجه، مولکول‌های علفکش در برابر حملات رادیکال‌های آزاد تولید شده توسط فتوکاتالیست مقاوم‌تر بوده و تماس کمتری با فتوکاتالیست برقرار می‌کنند، که این امر منجر به کاهش سرعت تجزیه فتوکاتالیزی می‌گردد.

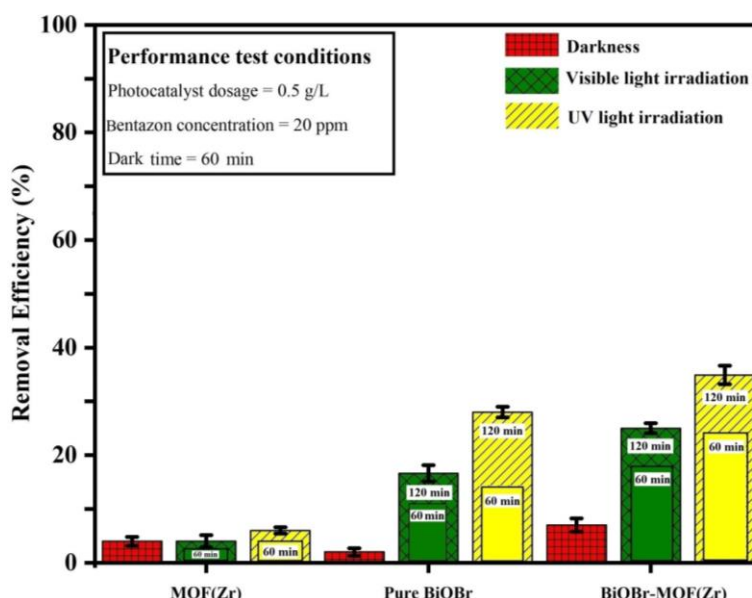
۳-۲-۳- مطالعه سینتیکی

در این بخش به بررسی سینتیک نمونه کامپوزیتی در واکنش تخریب فتوکاتالیزی آلینده‌های بنتازون و رنگزای متیل اورانژ پرداخته می‌شود.



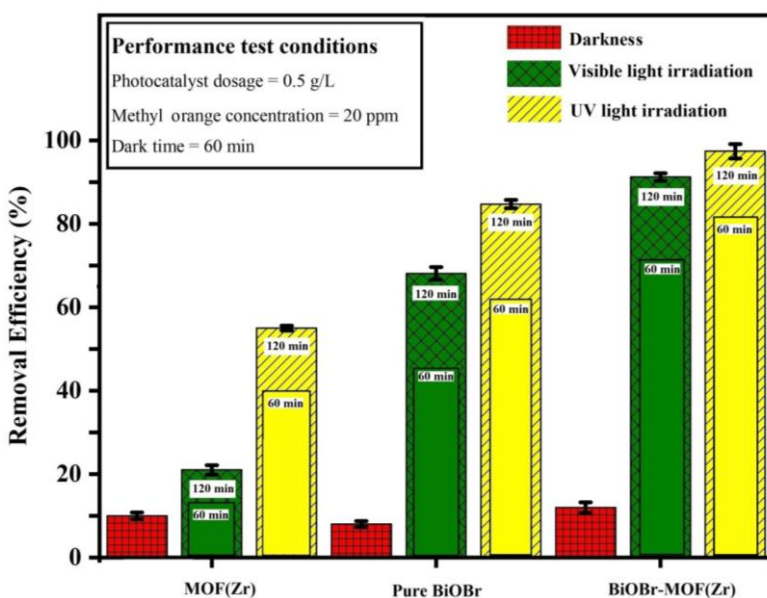
شکل ۵: آزمون FT-IR نمونه‌های سنتزی.
Figure 5: FT-IR analysis of synthesized samples.

لازم به ذکر است که بدون حضور فتوکاتالیست و تحت تابش نور، تعییری در غلظت آلینده بنتازون مشاهده نشد و نورکافته^۱ صورت نگرفت. نتایج این آزمایش‌ها نشان می‌دهد که افزودن نانوذرات MOF به نانوصفحات BiOBr کارایی فتوکاتالیزی این ماده را بهبود می‌بخشد. دلایل این بهبود با استناد به نتایج آزمون‌های شناسایی می‌تواند تجمع و انباست کمتر نانوصفحات BiOBr، بهبود جدایش بار، توزیع یکنواخت ذرات و نیز افزایش ظرفیت جذب آلینده باشد. همان‌طوری که پیداست، نمونه کامپوزیتی در شرایط تاریکی و مدت زمان یک ساعت میزان جذب آلینده بهتری را از خود نشان داده است که با توجه به ظرفیت جذب



شکل ۶: تجزیه فتوکاتالیزی آلینده بنتازون توسط نمونه‌های سنتزی تحت تابش نور فرابنفش و مرئی.
Figure 6: Photocatalytic degradation of bentazon pollutant by the synthesized samples under UV and visible light irradiation.

¹ Photolysis



شکل ۷: تجزیه فتوکاتالیزی رنگزای متیل اورانژ توسط نمونه‌های سنتزی تحت تابش نور فرابنفش و مرئی.

Figure 7: Photocatalytic degradation of methyl orange pollutant by the synthesized samples under UV and visible light irradiation.

ترسیم شده است. در مطالعه کنونی، به منظور تخمین میزان انرژی نوار ظرفیت (VB) و نوار رسانش (CB) برای نمونه خالص BiOBr، از روابط ۴ و ۵ بهره گرفته شد.

$$E_{VB} = X - E_e + 0.5 E_g \quad (4)$$

$$E_{CB} = E_{VB} - E_g \quad (5)$$

در اینجا X نشان دهنده الکترونکشانی نیمه هادی است که برای BiOBr مقدار آن $6/45$ eV است (E_e). بیانگر انرژی سطح الکترون است که تقریباً برابر $4/5$ eV است و E_g کاف نوارنیمه هادی را بیان می‌کند که کاف نوار BiOBr در این کار $2/69$ eV محاسبه گردید. با جایگزینی این مقادیر در معادلات بالا، پتانسیل VB و CB برای BiOBr به ترتیب برابر با $3/3$ و $0/61$ V (vs. NHE) به دست آمد. از طرف دیگر با توجه به نتایج به دست آمده در مرجع (۴۷)، کمترین اوربیتال مولکولی اشغال نشده (LUMO) برای UiO-66 برابر با $0/0/61$ eV و همچنین بالاترین اوربیتال مولکولی اشغال شده (HOMO) برای این ساختار eV ۳ گزارش شده است. در واقع، می‌توان اوربیتال‌های مولکولی با بالاترین سطح انرژی اشغال شده (HOMO) و پایین‌ترین سطح انرژی اشغال نشده (LUMO) در نیمه‌رساناهای آلی نظیر چارچوب‌های فلز-آلی (MOFs)، را به ترتیب با نوارهای ظرفیت و رسانش در نیمه‌رساناهای معدنی همازد دانست.

بر این اساس، آشکار می‌گردد که پتانسیل نوار رسانش (CB) نیمه‌رسانای BiOBr خالص در سطحی پایین‌تر از پتانسیل CB نیمه‌رسانای MOF(Zr) قرار دارد، در حالی که لبه نوار ظرفیت (VB) نیمه‌رسانای MOF(Zr) از لبه VB نیمه‌رسانای BiOBr خالص بالاتر است.

داده‌های تجزیه فتوکاتالیزی بنتازون و زنگزای متیل اورانژ، در حضور نمونه سنتزی و تحت شرایط عملیاتی غلظت آلاند 20 ppm، مقدار کاتالیست 0.5 g/L، pH $0/5$ ، اولیه محلول و در بازه زمانی 120 دقیقه، با مدل‌های سینتیکی مرتبه صفر (رابطه ۱)، مرتبه یک (رابطه ۲) و مرتبه دو (رابطه ۳) بررسی شدند. اعتبارسنجی بین داده‌های آزمایشگاهی و مدل پیشنهادی با استفاده از ضریب همبستگی انجام شد.

$$C_0 - C_t = k_0 t \quad (1)$$

$$\ln \frac{C_0}{C_t} = k_1 t \quad (2)$$

$$\frac{1}{C_t} - \frac{1}{C_0} = k_2 t \quad (3)$$

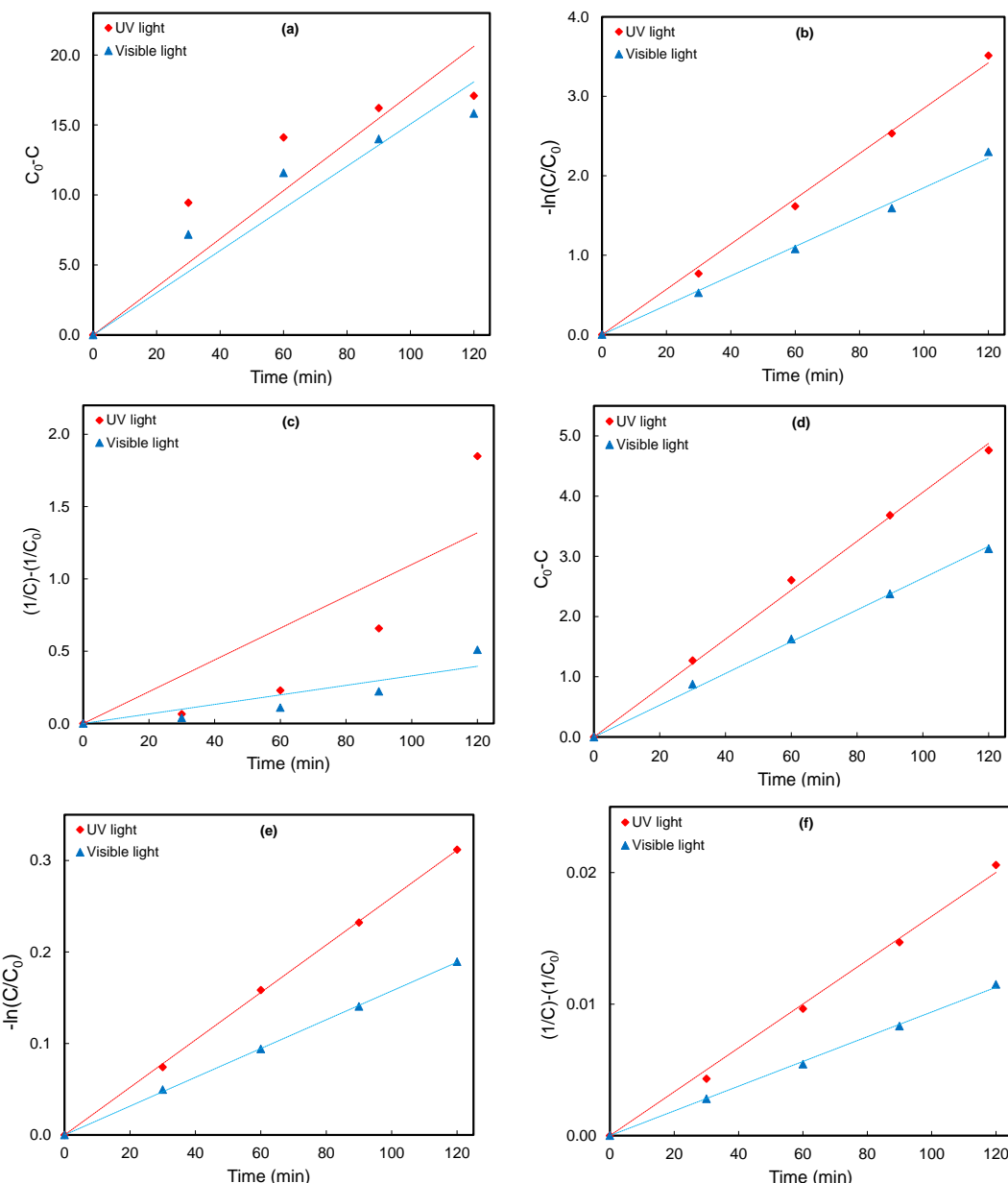
نتایج اعتبارسنجی مدل‌های سینتیکی در جدول ۲ ارائه شده است. مقایسه ضرایب همبستگی (R^2) مدل‌های سینتیکی نشان می‌دهد که داده‌های آزمایشگاهی برای آلاند بنتازون با مدل سینتیکی مرتبه اول تطابق خوبی دارد. ضریب همبستگی برای نمونه کامپوزیتی در این مدل بیش از $999/0$ است. نتایج برای زنگزای متیل اورانژ نیز، تطابق خوبی با مدل سینتیکی مرتبه اول دارد و ضریب همبستگی برای نمونه کامپوزیتی بیش از $995/0$ است. شکل ۸ نتایج تغییرات خطی تجزیه زنگزای متیل اورانژ و بنتازون در حضور نانوکامپوزیت سنتزی را بر اساس مدل‌های سینتیکی مرتبه صفر، اول و دوم نشان می‌دهد.

۳-۴-۲-۳- سازوکار احتمالی فرایند تخریب نوری پساب آلی با توجه به داده‌های حاصل از آزمون DRS و بهمنظور شناسایی واسطه‌های فعال دخیل در فرایند فتوکاتالیزی، نمودار پتانسیل نوارهای انرژی ساختار اتصال ناهمگون BiOBr-MOF(Zr) در شکل ۹

جدول ۲: مطالعه سینتیکی تجزیه فتوکاتالیزی بنتازون و متیل اورانژ با استفاده از نمونه کامپوزیتی.

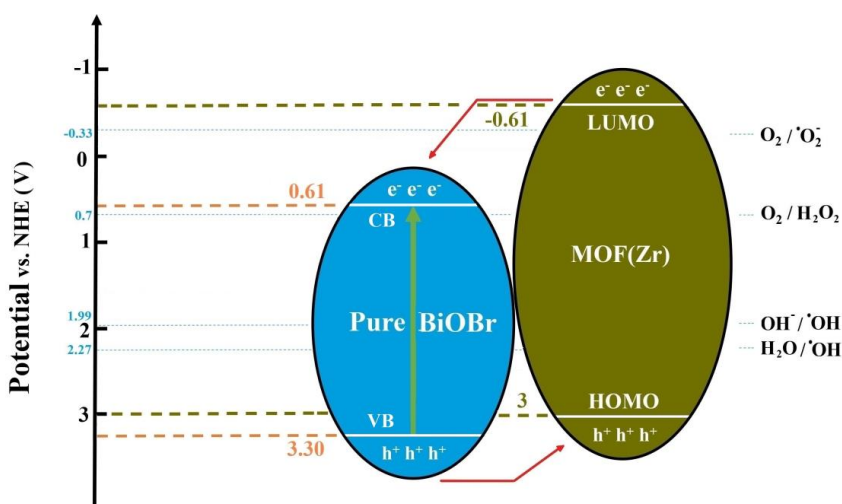
Table 2: Kinetic study of bentazon and methyl orange photocatalytic degradation using composite sample.

Photocatalyst	Light source	Pollutant	Zero-Order Kinetics		First-Order Kinetics		Second-Order Kinetics	
			R ²	k ₀	R ²	k ₁	R ²	k ₂
BiOBr-MOF(Zr)	UV	Methyl orange	0.7664	0.1718	0.9966	0.0285	0.7239	0.0110
BiOBr-MOF(Zr)	Visible	Methyl orange	0.8823	0.1507	0.9956	0.0185	0.8213	0.0033
BiOBr-MOF(Zr)	UV	Bentazon	0.9970	0.0406	0.9996	0.0026	0.9962	0.0002
BiOBr-MOF(Zr)	Visible	Bentazon	0.9983	0.0264	0.9997	0.0016	0.9987	0.0001



شکل ۸: تغییرات خطی غلظت رنگرای متیل اورانژ بر حسب زمان با استفاده از مدل‌های سینتیکی (a) مرتبه صفر، (b) مرتبه اول، (c) مرتبه دوم و نیز تغییرات خطی غلظت بنتازون بر حسب زمان با استفاده از مدل‌های سینتیکی (d) مرتبه صفر، (e) مرتبه اول و (f) مرتبه دوم.

Figure 8: Linear changes in the concentration of methyl orange over time using a) zero-order, b) first-order, c) second- order kinetic models and also linear changes in the concentration of bentazon over time using d) zero-order, e) first-order and f) second- order kinetic models.



شکل ۹: سازوکار احتمالی فرایند تخریب آلاینده‌آلی بر روی ساختار اتصال ناهمگون BiOBr-MOF(Zr)

Figure 9: Possible mechanism of organic pollutant degradation over of BiOBr-MOF(Zr) heterojunction.

۳-۲-۵- قابلیت استفاده مجده نانوکامپوزیت سنتزی

در این پژوهش، پایداری نانوکامپوزیت BiOBr-MOF(Zr) از طریق ارزیابی قابلیت استفاده مجده آن مورد بررسی قرار گرفت. در مرحله بازیافت، فتوکاتالیست پس از هر مرتبه آزمایش تجزیه آلاینده، ابتدا به دقت از محلول واکنش با استفاده از گربزانه جدا شده و سپس با محلول آب مقطر و اتانول شسته شد. در نهایت، فتوکاتالیست شسته شده در دمای ۶۰ درجه سانتیگراد خشک گردید تا برای چرخه بعدی آزمایش مورد استفاده قرار گیرد. با توجه به اینکه نانوکامپوزیت سنتزی در حذف رنگزای متیل اورانز نسبت به بنتازون کارایی بالاتری دارد، تصمیم گرفته شد تا قابلیت استفاده مجده این نانوکامپوزیت تنها برای رنگزای متیل اورانز بررسی شود. بر اساس نتایج بدست آمده از چهار دوره استفاده متوالی (شکل ۱۰)، نانوکامپوزیت مورد نظر پایداری خوبی از خود نشان داد. همانطور که مشاهده می‌شود، بازده کامپوزیت طی چهار چرخه استفاده، کمتر از ۱۰ درصد کاهش داشته است که نشانگر عملکرد مطلوب آن است. این نتایج نشان می‌دهد که نانوکامپوزیت سنتزی توانایی بالایی در حفظ عملکرد خود طی دوره‌های مختلف استفاده دارد.

۳-۲-۶- مقایسه پژوهش حاضر با سایر پژوهش‌های مشابه

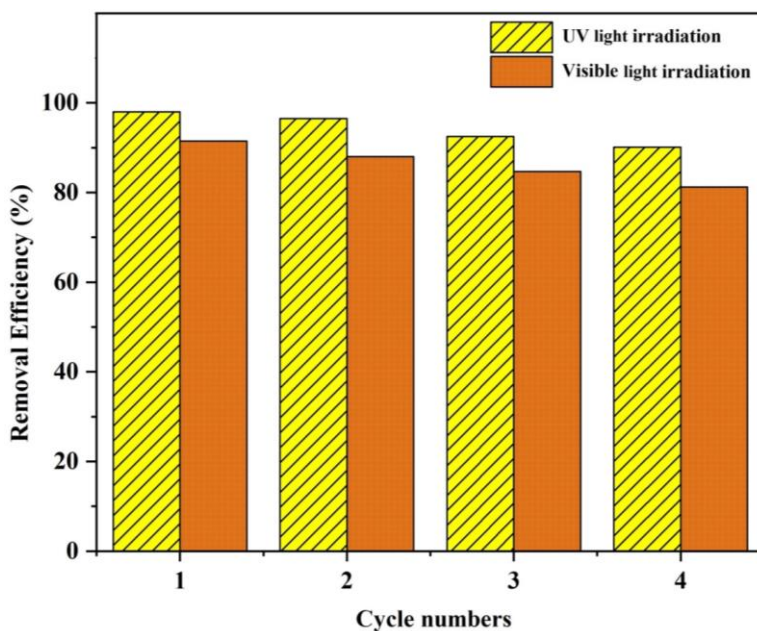
به منظور ارزیابی جایگاه پژوهش حاضر در مقایسه با دستاوردهای پیشین، جدول ۳ به مقایسه عملکرد نانوکامپوزیت BiOBr-MOF(Zr) با سایر فتوکاتالیست‌های گزارش شده برای حذف آلاینده‌های آلی می‌پردازد. به طور کلی، نتایج مقایسه‌ای نشان می‌دهد که نانوکامپوزیت BiOBr-MOF(Zr) سنتز شده در این پژوهش، به ویژه در حذف متیل اورانز تحت تابش نور مرئی، پتانسیل بالایی برای کاربرد در فرایندهای فتوکاتالیزی تصفیه آب دارد. بررسی عملکرد این نانوکامپوزیت در حذف سایر آلاینده‌ها و بهینه‌سازی شرایط واکنش می‌تواند زمینه‌های تحقیقاتی آتی را تشکیل دهد.

تحت تابش نور، الکترون‌ها از نوار رسانش MOF(Zr) به نوار رسانش BiOBr خالص مهاجرت نموده و حفره‌ها از نوار ظرفیت BiOBr خالص به نوار ظرفیت MOF(Zr) منتقل می‌شوند، که این امر منتج به شکل‌گیری یک ساختار اتصال ناهمگون نوع II می‌گردد. در نتیجه این انتقال بار، الکترون‌ها بر سطح MOF(Zr) برای انجام واکنش‌های کاهشی و حفره‌ها بر سطح نیمه‌رسانای BiOBr خالص برای پیشبرد واکنش‌های اکسایش تجمع می‌باشد. انتقال جفت‌های الکtron-حفره برانگیخته شده در ساختار اتصال ناهمگون نوع II در BiOBr-MOF(Zr) سبب جدایی مؤثرتر حامل‌های بار و کاهش میزان بازترکیبی آن‌ها شده و در نهایت، طول عمر این حامل‌های بار را افزایش می‌دهد. از سوی دیگر، با توجه به اینکه اثری نوار ظرفیت MOF(Zr) و BiOBr خالص بالاتر از پتانسیل‌های استاندارد تبدیل مولکول‌های آب به رادیکال‌های هیدروکسیل (H₂O^{•-}) در مقابل NHE ۲/۲۷ V و مولکول‌های هیدروکسید به رادیکال‌های هیدروکسیل (OH⁻) در مقابل NHE می‌باشد، بنابراین حفره‌های موجود قادر به اکسیداسیون مولکول‌های H₂O و بون‌های OH⁻ به رادیکال‌های هیدروکسیل خواهند بود. این حفره‌ها و رادیکال‌های هیدروکسیل تشکیل شده می‌توانند با آلاینده‌های جذب شده بر سطح فتوکاتالیست واکنش داده و منجر به تجزیه مولکول‌های آلاینده گردند. علاوه بر این، با در نظر گرفتن پتانسیل کاهش مولکول‌های O₂ به رادیکال‌های سوپراکسید (-۰/۳۳ V در مقابل NHE)، الکترون‌های موجود در نوار رسانش BiOBr خالص قادر به احیای O₂ به رادیکال‌های سوپراکسید نیستند، در حالی که سطح LUMO در نمونه MOF(Zr) این امکان را فراهم می‌سازد. همچنین، با توجه به پتانسیل زوج O₂/H₂O₂ برابر با ۰/۷ ولت، الکترون‌هایی با سطوح اثری پایان تر از ۰/۷ ولت می‌توانند تبدیل مولکول‌های O₂ جذب شده به H₂O₂ را تسهیل کنند O₂ + 2e⁻ + 2H⁺ → H₂O₂. بر مبنای موارد ذکر شده، گونه‌های فعال شناسایی شده شامل رادیکال‌های هیدروکسیل، هیدروزن پراکسید، حفره‌ها و رادیکال‌های سوپراکسید می‌باشند.

جدول ۳: مقایسه یافته‌های پژوهش حاضر با سایر مطالعات مشابه

Table 3: Comparison of the findings of the present study with other similar studies

Photocatalyst	Photocatalyst dosage (g/L)	Light source (power)	Irradiation time (min)	Pollutant (concentration)	Removal (%)	Ref.
BiOBr-MOF(Zr)	0.5	UV (125 W)	120	Methyl orange (20 ppm)	97.4	Present study
		LED (180 W)			91.3	
BiOBr-MOF(Zr)	0.5	UV (125 W)	120	Bentazon (20 ppm)	34.9	Present study
		LED (180 W)			25	
BiOBr/UiO-66	0.5	Halogen (500 W)	240	Atrazine (5 ppm)	88	(38)
BiOBr/UiO-66	1	Halogen (300 W)	150	Tetracycline (10 ppm)	84	(30)
UiO-66(Ti)	1	Xenon (250 W)	160	Methylene Blue (10 ppm)	87.1	(48)
RGO-UiO-66(NH ₂)	0.5	Visible light	100	Chromium (10 ppm)	100	(49)
UiO-66/Palygorskite/TiO ₂	1	Xenon (300 W)	120	Methyl orange (10 ppm)	95	(50)



شکل ۱۰: قابلیت استفاده مجدد نانوکامپوزیت سنتزی.

Figure 10. Reusability of the synthesized nanocomposite.

زمان ۱۲۰ دقیقه تجزیه کرد. همچنین، ۹۷/۴ درصد رنگزای متیل اورانز را تحت تابش نور فرابنفش و ۹۱/۳ درصد از این آلاندنه رنگی را تحت تابش نور مرئی تجزیه کرد. مطالعات سینتیکی بیانگر تبعیت نتایج حذف آلاندنه‌ها از مدل مرتبه اول بود. نتایج نشان می‌دهد که عملکرد فتوکاتالیزی BiOBr با آمیختن MOF بهبود پیدا می‌کند که دلیل آن بهبود ظرفیت جذب، جلوگیری از تجمع و انباست نانوصفحات BiOBr جدایش بار بهتر و نرخ پایین‌تر بازترکیب جفت‌های الکترون-حفره است. همچنین، می‌توان گفت که فتوکامپوزیت سنتزی کارآبی بهتری در تجزیه آلاندنه‌های رنگی که معمولاً ساختار شیمیایی ساده‌تری در مقایسه با علف‌کش‌ها دارند، از خود نشان می‌دهد.

۴- نتیجه‌گیری

در این پژوهش، به بررسی تجزیه فتوکاتالیزی دو نوع آلاندنه آلی بنتاژون و رنگزای متیل اورانز توسط نانوکامپوزیت بیسیوت اکسیبرومید با درصد وزنی ۲/۵ درصد از نانوذرات MOF(Zr) با تابش پرتو فرابنفش و مرئی پرداخته شد. در ابتدا نانوذرات MOF(Zr) به روش سولوترمال سنتز و پس از آن نانوکامپوزیت BiOBr-MOF(Zr) به روش شیمیایی مرتبط و تحت اختلاط شدید تهیه شد. نانوکامپوزیت سنتز شده توسط آزمون‌های XRD، FESEM، PL، UV-Vis، FT-IR مشخصه‌یابی شد. در این کار، نانوکامپوزیت سنتزی ۳۴/۹ درصد از بنتاژون را تحت تابش نور فرابنفش و ۲۵ درصد از بنتاژون را تحت تابش نور مرئی در مدت

تعارض منافع

نویسنده‌گان اعلام می‌دارند که در این مقاله هیچ‌گونه تعارض منافع وجود ندارد.

تشکر و قدردانی

نویسنده‌گان بدین وسیله از دانشگاه کردستان برای فراهم آوردن امکانات و زیرساخت‌های لازم جهت انجام این پژوهش که مستخرج از رساله دانشجویی است قدردانی می‌نمایند.

- مراجع ۵-

- Kesari KK, Soni R, Jamal QMS, Tripathi P, Lal JA, Jha NK, et al. Wastewater treatment and reuse: a review of its applications and health implications. *Water Air Soil Pollut.* 2021;232(5):1-28. <https://doi.org/10.1007/s11270-021-05154-8>.
- Nishat A, Yusuf M, Qadir A, Ezaier Y, Vambol V, Khan MI, et al. Wastewater treatment: a short assessment on available techniques. *Alex Eng J.* 2023;76:505-16. <https://doi.org/10.1016/j.aej.2023.06.054>.
- Zandi A, Akbari Seneh R, Rahmani Chiyaneh F. The Impact of clinoptilolite natural zeolite on the photocatalytic properties and performance of BiOI semiconductor in the photodegradation of dye wastewater. *J Pet Res.* 2022;32(1401-3):48-65. <https://doi.org/10.22078/pr.2022.4669.3099>.
- Silva JA. Wastewater treatment and reuse for sustainable water resources management: a systematic literature review. *Sustainability.* 2023;15(14):10940. <https://doi.org/10.3390/su151410940>.
- Khan S, Noor T, Iqbal N, Yaqoob L. Photocatalytic dye degradation from textile wastewater: A Review. *ACS Omega.* 2024;9(20):21751-67. <https://doi.org/10.1021/acso mega.4c00887>.
- Abramović B, Despotović V, Šojić D, Finčur N. Mechanism of clomazone photocatalytic degradation: hydroxyl radical, electron and hole scavengers. *React. Kinet. Mech. Catal.* 2015;115:67-79. <http://dx.doi.org/10.1007/s11144-014-0814-z>.
- Barsan N, Zaharia A, Chitimis D, Mosnegutu E, Florin N, Rusu D, et al. Filtration theory and techniques. A short review on the filtration process. 2020 7th International Conference on Energy Efficiency and Agricultural Engineering. <https://doi.org/10.1109/EEAE49144.2020.9278975>.
- El Barkaoui S, Mandi L, Fichera M, Ryah H, Bacaoui A, Del Bubba M, Ouazzani N. Optimizing biochar-based column filtration systems for enhanced pollutant removal in wastewater treatment: A preliminary study. *Chemosphere.* 2025;372:144067. <https://doi.org/10.1016/j.chemosphere.2025.144067>.
- Chang I-S, Kim S-N. Wastewater treatment using membrane filtration—effect of biosolids concentration on cake resistance. *Process Biochem.* 2005;40(3-4):1307-14. <http://dx.doi.org/10.1016/j.procbio.2004.06.019>.
- Ranjbaran N, Akbari A, Yegani R, Roghani-Mamaqani H, Chapalaghı M. Graphene oxide decorated copper nanoparticles embedded polysulfone nanocomposite membrane: anti-bacterial, organo-bio fouling evaluation in pharmaceutical wastewater treatment via MBR. *J Ind Eng Chem.* 2025;142:293-308. <https://doi.org/10.1016/j.jiec.2024.07.036>.
- Lettinga G. Sustainable integrated biological wastewater treatment. *Water Sci Technol.* 1996;33(3):85-98. [https://doi.org/10.1016/0273-1223\(96\)00303-4](https://doi.org/10.1016/0273-1223(96)00303-4).
- Bao Y, Yang B, Yang R, Wang J, Geng A, Zhang C, Sun Z. Regulation of microbial activity based on quorum sensing: Implications for biological wastewater treatment. *Int Biodeterior Biodegrad.* 2025;199:106029. <https://doi.org/10.1016/j.ibiod.2025.106029>.
- Rashid R, Shafiq I, Akhter P, Iqbal MJ, Hussain M. A state-of-the-art review on wastewater treatment techniques: the effectiveness of adsorption method. *Environ Sci Pollut Res Int.* 2021;28(8):9050-66. <https://doi.org/10.1007/s11356-021-12395-x>.
- Kariminejad F, Ghadimi SB, Rahmani F, Haghghi M, Sene RA, et al. Kinetic and isotherm study of Cr (VI) biosorption from industrial effluents by biomass of dried sludge. *Desalin Water Treat.* 2021;209:91-104. <https://doi.org/10.5004/dwt.2021.26477>.
- Lazar MA, Varghese S, Nair SS. Photocatalytic water treatment by titanium dioxide: recent updates. *Catalysts.* 2012;2(4):572-601. <https://doi.org/10.3390/catal2040572>.
- Herrmann J-M. Water treatment by heterogeneous photocatalysis. *Environmental catalysis:* World Scientific; 1999. 171-94.
- Amini A, Rahmani F, Kkamforoush M, Sene RA. Bentonite nanoparticles-incorporated ZnO nanofiber mats assembly by electro-centrifuge spinning for efficient photo-degradation of bentazon herbicide: tuning composition and process optimization. *J Cleaner Prod.* 2023;414:137652. <https://doi.org/10.1016/j.jclepro.2023.137652>.
- Khanmohammadi M, Rahmani F, Shahrouzi JR, Sene RA. Insightful properties-performance study of Ti–Cu–O heterojunction sonochemically embedded in mesoporous silica matrix for efficient tetracycline adsorption and photodegradation: RSM and ANN-based modeling and optimization. *Chemosphere.* 2024;352:141223. <https://doi.org/10.1016/j.chemosphere.2024.141223>.
- Moradi M, Sene RA, Rahmani F, Rezakazemi M. Efficient photodegradation of paraquat herbicide over TiO₂-WO₃ heterojunction embedded in diatomite matrix and process optimization. *Environ Sci Pollut Res.* 2023;30:99675-93. <https://doi.org/10.1007/s11356-023-29306-x>.
- Abedi F, Allahyari S, Rahemi N. Treatment of pharmaceutical wastewater using inexpensive photocatalysts of copper oxide-ion exchanged clinoptilolite under visible light. *Iran J Chem Eng.* 2023;22(128):135-144. <https://doi.org/10.22034/ijche.2022.343136.1205>.
- Kalantri K, Asgari E. Synthesis of ZnO-ZnS nanocomposite and its application in photocatalytic degradation of direct red 80 dye. *Iran Chem Eng J.*

- 2023;22(129):98-109. <https://doi.org/10.22034/ijche.2022.361210.1236>.
22. Moradi A, Khamforoush M, Rahmani F, Ajamein H. Synthesis of 0D/1D electrospun titania nanofibers incorporating CuO nanoparticles for tetracycline photodegradation and modeling and optimization of the removal process. *Mater Sci Eng B*. 2023;297:116711. <https://doi.org/10.1016/j.mseb.2023.116711>.
23. Coronado-Castañeda R, Maya-Treviño M, Garza-González E, Peral J, Villanueva-Rodríguez M, Hernández-Ramírez A. Photocatalytic degradation and toxicity reduction of isoniazid using β -Bi₂O₃ in real wastewater. *Catal Today*. 2020;341:82-9. <https://doi.org/10.1016/j.cattod.2019.01.028>.
24. Bouddouch A, Akhsassi B, Amaterz E, Bakiz B, Taoufyq A, Villain S, et al. Photodegradation under UV light irradiation of various types and systems of organic pollutants in the presence of a performant BiPO₄ photocatalyst. *Catal*. 2022;12(7):691. <https://doi.org/10.3390/catal12070691>.
25. Wang Q, Hui J, Huang Y, Ding Y, Cai Y, Yin S, et al. The preparation of BiOCl photocatalyst and its performance of photodegradation on dyes. *Mater Sci Semicond Process*. 2014;17:87-93. <http://dx.doi.org/10.1016/j.mssp.2013.08.018>.
26. Saddique Z, Imran M, Javaid A, Latif S, Hussain N, Kowal P, Boczkaj G. Band engineering of BiOBr based materials for photocatalytic wastewater treatment via advanced oxidation processes (AOPs)—A review. *Water Resour Ind*. 2023;29:100211. <https://doi.org/10.1016/j.wri.2023.100211>.
27. Zandi A, Akbari Sene R, Rahmani F. Evaluation of structural-optical properties and catalytic performance of BiOI-CuO heterojunction photoccomposite embedded in zeolitic matrix. *J. Mineral Resour Eng*. 2024;9(4):95-113. <https://doi.org/10.30479/jmre.2024.18720.1642>.
28. Siedlecka EM. Application of bismuth-based photocatalysts in environmental protection. *Nanophotocatalysis and Environmental Applications: Detoxification and Disinfection*. 2020;87-118.
29. Wei XX, Cui H, Guo S, Zhao L, Li W. Hybrid BiOBr-TiO₂ nanocomposites with high visible light photocatalytic activity for water treatment. *J Hazard Mater*. 2013;263(2):650-658. <https://doi.org/10.1016/j.jhazmat.2013.10.027>.
30. Li X, Zhang D, Bai R, Mo R, Yang C, Li C, Han Y. Zr-MOFs based BiOBr/UiO-66 nanoplates with enhanced photocatalytic activity for tetracycline degradation under visible light irradiation. *AIP Advances*. 2020;10(12). <https://doi.org/10.1063/5.0030228>.
31. Winarta J, Shan B, McIntyre SM, Ye L, Wang C, Liu J, Mu B. A decade of UiO-66 research: a historic review of dynamic structure, synthesis mechanisms, and characterization techniques of an archetypal metal–organic framework. *Cryst Growth Des*. 2019;20(2):1347-62. <https://doi.org/10.1021/acs.cgd.9b00955>.
32. Yu S, Pang H, Huang S, Tang H, Wang S, Qiu M, et al. Recent advances in metal-organic framework membranes for water treatment: A review. *Sci Total Environ*. 2021;800:149662. <https://doi.org/10.1016/j.scitotenv.2021.149662>.
33. Saeedirad R, Bazmi M, Rashidi A, Taghavi Ganjali S. Adsorptive removal of dibenzothiophene using UVM-7 at ZIF-8 as nano-adsorbent in liquid phase at room temperature. *PR*. 2018;28(102):37-46. <https://doi.org/10.22078/PR.2018.3247.2499> [In Persian].
34. Mehdikhani A, Fallah-Arani H, Dabir F, Ghanbari A. The influence of peroxides and washing process on metal-organic framework of MOF-5 synthesized by direct mixing method. *Adv Mater Eng*. 2022;41(2):17-36. <https://doi.org/10.47176/jame.41.2.22143> [In Persian].
35. Chen Y, Zhou B, Liu H, Yuan R, Wang X, Feng Z, et al. Strategies to improve adsorption and photocatalytic performance of metal-organic frameworks (MOFs) for perfluoroalkyl and polyfluoroalkyl substances (PFASs) removal from water: A review. *Environ Res*. 2024;240(1):117483. <https://doi.org/10.1016/j.envres.2023.117483>.
36. Sha Z, Sun J, Chan HSO, Jaenicke S, Wu J. Bismuth tungstate incorporated zirconium metal–organic framework composite with enhanced visible-light photocatalytic performance. *RSC Adv*. 2014;4(110):64977-84. <https://doi.org/10.1039/C4RA13000F>.
37. Sha Z, Wu J. Enhanced visible-light photocatalytic performance of BiOBr/UiO-66 (Zr) composite for dye degradation with the assistance of UiO66. *RSC Adv*. 2015;5(49):39592-600. <https://doi.org/10.1039/C5RA04869A>.
38. Xue Y, Wang P, Wang C, Ao Y. Efficient degradation of atrazine by BiOBr/UiO-66 composite photocatalyst under visible light irradiation: environmental factors, mechanisms and degradation pathways. *Chemosphere*. 2018;203:497-505. <https://doi.org/10.1016/j.chemosphere.2018.04.017>.
39. Ding J, Yang Z, He C, Tong X, Li Y, Niu X, Zhang H. UiO-66 (Zr) coupled with Bi₂MoO₆ as photocatalyst for visible-light promoted dye degradation. *J Colloid Interface Sci*. 2017;497:126-33. <https://doi.org/10.1016/j.jcis.2017.02.060>.
40. Kim HG, Choi K, Lee K, Lee S, Jung KW, Choi JW. Controlling the structural robustness of zirconium-based metal organic frameworks for efficient adsorption on tetracycline antibiotics. *Water*. 2021;13(13):1869. <https://doi.org/10.3390/w13131869>.
41. Imam SS, Adnan R, Mohd Kaus NH, Hussin MH. Room-temperature synthesis of Bi/BiOBr composites for the catalytic degradation of ciprofloxacin using indoor fluorescent light illumination. *J Mater Sci. Mater Electron*. 2019;30:6263-76. <https://doi.org/10.1007/s10854-019-00930-z>.
42. Sene RA, Moradi G, Sharifnia S, Rahmani F. Hydrogen evolution via water splitting using TiO₂ nanoparticles immobilized on aluminosilicate mineral: synergistic effect of porous mineral and TiO₂ content. *Desalin Water Treat*. 2020;208:273-86. <http://dx.doi.org/10.5004/dwt.2020.26403>.
43. Delir Kheyrollahi Nezhad P, Haghghi M, Rahmani F. CO₂/O₂ enhanced ethane dehydrogenation over a sol-gel synthesized Ni/ZrO₂-MgO nanocatalyst: effects of Mgo, ZrO₂, and NiO on the catalytic performance. *Part Sci Technol*. 2018;36(8):1017-28. <https://doi.org/10.1080/02726351.2017.1340376>.
44. Sajjadi SM, Haghghi M, Rahmani F. Syngas production from CO₂-reforming of CH₄ over sol-gel synthesized Ni-Co/Al₂O₃-MgO-ZrO₂ nanocatalyst: effect of ZrO₂ precursor on catalyst properties and performance. *Quim. Nova*. 2015;38(4):459-65. <http://dx.doi.org/10.5935/0100-4042.20150034>.
45. Delir Kheyrollahi Nezhad P, Haghghi M, Jodeiri N, Rahmani F. Sol-gel preparation of NiO/ZrO₂ (x) -MgO (100-x) nanocatalyst used in CO₂/O₂ oxidative dehydrogenation of ethane to ethylene: influence of Mg/Zr ratio on catalytic

- performance. *J Sol-Gel Sci Technol.* 2016;80:436-50. <https://doi.org/10.1007/s10971-016-4120-2>.
46. Wu J, Xie Y, Liang Y, Dong Y, Li J, Li sh, Zhao J. Synthesis of flower-like g-C₃N₄/BiOBr and enhancement of the activity for the degradation of bisphenol A under visible light irradiation. *Front Chem.* 2019;7:649. <https://doi.org/10.3389/fchem.2019.00649>.
47. Tian H, Gu Y, Zhou H, Huang Y, Fang Y, Li R, Tang C. BiOBr@ UiO-66 photocatalysts with abundant activated sites for the enhanced photodegradation of rhodamine b under visible light irradiation. *Mater Sci Eng B.* 2022;271:115297. <https://doi.org/10.1016/j.mseb.2021.115297>.
48. Wang A, Zhou Y, Wang Z, Chen M, Sun L, Liu X. Titanium incorporated with UiO-66 (Zr)-type metal-organic framework (MOF) for photocatalytic application. *RSC Adv.* 2016;6(5):3671-9. <https://doi.org/10.1039/C5RA24135A>.
49. Shen L, Huang L, Liang S, Liang R, Qin N, Wu L. Electrostatically derived self-assembly of NH₂-mediated zirconium MOFs with graphene for photocatalytic reduction of Cr (vi). *RSC Adv.* 2014;4(5):2546-9. <https://doi.org/10.1039/C3RA45848B>
50. Ioannidou T, Anagnostopoulou M, Papoulis D, Christoforidis KC, Vasiliadou IA. UiO-66/Palygorskite/TiO₂ ternary composites as adsorbents and photocatalysts for methyl orange removal. *Appl Sci.* 2022;12(16):8223. <https://doi.org/10.3390/app12168223>.

How to cite this article:

Rezaei B, Rahmani F, Khamforoush M. Photocatalytic and kinetics studies of colored and agriculture wastewater treatment using bismuth oxybromide reinforced with a trace amount of metal-organic framework (zr) nanoparticles. *J Stud Color World.* 2025;15(3):281-295. <https://doi.org/10.30509/jscw.2025.167497.1227> [In Persian].